

Starkniederschlagshöhen und -spenden gemäß KOSTRA-DWD-2010R

Auswertungszeitraum von 1951 - 2010, Januar - Dezember

Rasterfeld: 82049

Zeile: 82

Spalte: 49

Seite: 1/2

| Dauerstufe D | | Wiederkehrzeit T | | | | | | | | | | | | | | | | | |
|--------------|-----|------------------|------------|------|------------|------|------------|------|------------|------|------------|------|------------|-------|------------|-------|------------|-------|------------|
| | | 1 a | | 2 a | | 3 a | | 5 a | | 10 a | | 20 a | | 30 a | | 50 a | | 100 a | |
| min | Std | mm | l / (s ha) | mm | l / (s ha) | mm | l / (s ha) | mm | l / (s ha) | mm | l / (s ha) | mm | l / (s ha) | mm | l / (s ha) | mm | l / (s ha) | mm | l / (s ha) |
| 5 | | 4,8 | 160,0 | 6,2 | 206,7 | 7,0 | 233,3 | 8,1 | 270,0 | 9,5 | 316,7 | 11,0 | 366,7 | 11,8 | 393,3 | 12,8 | 426,7 | 14,3 | 476,7 |
| 10 | | 7,7 | 128,3 | 9,7 | 161,7 | 11,0 | 183,3 | 12,5 | 208,3 | 14,6 | 243,3 | 16,7 | 278,3 | 17,9 | 298,3 | 19,4 | 323,3 | 21,5 | 358,3 |
| 15 | | 9,6 | 106,7 | 12,2 | 135,6 | 13,7 | 152,2 | 15,6 | 173,3 | 18,2 | 202,2 | 20,9 | 232,2 | 22,4 | 248,9 | 24,3 | 270,0 | 26,9 | 298,9 |
| 20 | | 11,0 | 91,7 | 14,0 | 116,7 | 15,8 | 131,7 | 18,1 | 150,8 | 21,1 | 175,8 | 24,2 | 201,7 | 25,9 | 215,8 | 28,2 | 235,0 | 31,2 | 260,0 |
| 30 | | 12,9 | 71,7 | 16,7 | 92,8 | 18,9 | 105,0 | 21,7 | 120,6 | 25,5 | 141,7 | 29,3 | 162,8 | 31,5 | 175,0 | 34,3 | 190,6 | 38,1 | 211,7 |
| 45 | | 14,5 | 53,7 | 19,2 | 71,1 | 22,0 | 81,5 | 25,5 | 94,4 | 30,2 | 111,9 | 35,0 | 129,6 | 37,7 | 139,6 | 41,2 | 152,6 | 46,0 | 170,4 |
| 60 | | 15,5 | 43,1 | 21,0 | 58,3 | 24,3 | 67,5 | 28,4 | 78,9 | 33,9 | 94,2 | 39,4 | 109,4 | 42,7 | 118,6 | 46,8 | 130,0 | 52,3 | 145,3 |
| 90 | | 17,3 | 32,0 | 23,1 | 42,8 | 26,5 | 49,1 | 30,8 | 57,0 | 36,6 | 67,8 | 42,4 | 78,5 | 45,8 | 84,8 | 50,1 | 92,8 | 55,9 | 103,5 |
| 120 | 2 | 18,6 | 25,8 | 24,7 | 34,3 | 28,2 | 39,2 | 32,6 | 45,3 | 38,6 | 53,6 | 44,6 | 61,9 | 48,1 | 66,8 | 52,6 | 73,1 | 58,6 | 81,4 |
| 180 | 3 | 20,8 | 19,3 | 27,1 | 25,1 | 30,8 | 28,5 | 35,4 | 32,8 | 41,7 | 38,6 | 48,0 | 44,4 | 51,7 | 47,9 | 56,3 | 52,1 | 62,6 | 58,0 |
| 240 | 4 | 22,4 | 15,6 | 29,0 | 20,1 | 32,8 | 22,8 | 37,6 | 26,1 | 44,1 | 30,6 | 50,6 | 35,1 | 54,4 | 37,8 | 59,2 | 41,1 | 65,7 | 45,6 |
| 360 | 6 | 25,0 | 11,6 | 31,8 | 14,7 | 35,8 | 16,6 | 40,9 | 18,9 | 47,7 | 22,1 | 54,5 | 25,2 | 58,5 | 27,1 | 63,6 | 29,4 | 70,4 | 32,6 |
| 540 | 9 | 27,9 | 8,6 | 35,0 | 10,8 | 39,2 | 12,1 | 44,5 | 13,7 | 51,7 | 16,0 | 58,8 | 18,1 | 63,0 | 19,4 | 68,3 | 21,1 | 75,5 | 23,3 |
| 720 | 12 | 30,1 | 7,0 | 37,5 | 8,7 | 41,8 | 9,7 | 47,3 | 10,9 | 54,7 | 12,7 | 62,1 | 14,4 | 66,4 | 15,4 | 71,9 | 16,6 | 79,3 | 18,4 |
| 1080 | 18 | 33,5 | 5,2 | 41,3 | 6,4 | 45,8 | 7,1 | 51,6 | 8,0 | 59,3 | 9,2 | 67,1 | 10,4 | 71,7 | 11,1 | 77,4 | 11,9 | 85,2 | 13,1 |
| 1440 | 24 | 36,2 | 4,2 | 44,2 | 5,1 | 48,9 | 5,7 | 54,9 | 6,4 | 62,9 | 7,3 | 70,9 | 8,2 | 75,6 | 8,8 | 81,6 | 9,4 | 89,6 | 10,4 |
| 2880 | 48 | 44,7 | 2,6 | 54,3 | 3,1 | 59,9 | 3,5 | 67,0 | 3,9 | 76,6 | 4,4 | 86,2 | 5,0 | 91,8 | 5,3 | 98,9 | 5,7 | 108,5 | 6,3 |
| 4320 | 72 | 50,5 | 1,9 | 61,0 | 2,4 | 67,2 | 2,6 | 75,0 | 2,9 | 85,5 | 3,3 | 96,0 | 3,7 | 102,2 | 3,9 | 110,0 | 4,2 | 120,5 | 4,6 |

Angaben in mm: Bemessungsniederschlagswerte h(n)

Angaben in l / (s ha): Regenspende R(n) mit $R(n) = h(n) \times 1,666667 / D[\text{min}]$

Toleranzbereiche:

+/- 10 % für $1 a \leq T \leq 5 a$

+/- 15 % für $5 a < T \leq 50 a$

+/- 20 % für $50 a < T \leq 100 a$

Datenbasis: KOSTRA-DWD-2010R des Deutschen Wetterdienstes. Die Regenspende wurde auf Basis des Bemessungsniederschlags zur jeweiligen Andauer berechnet.

Für die Richtigkeit und Aktualität der Angaben wird keine Gewähr übernommen. Erstellt 07/2022.

Starkniederschlagshöhen und -spenden gemäß KOSTRA-DWD-2010R

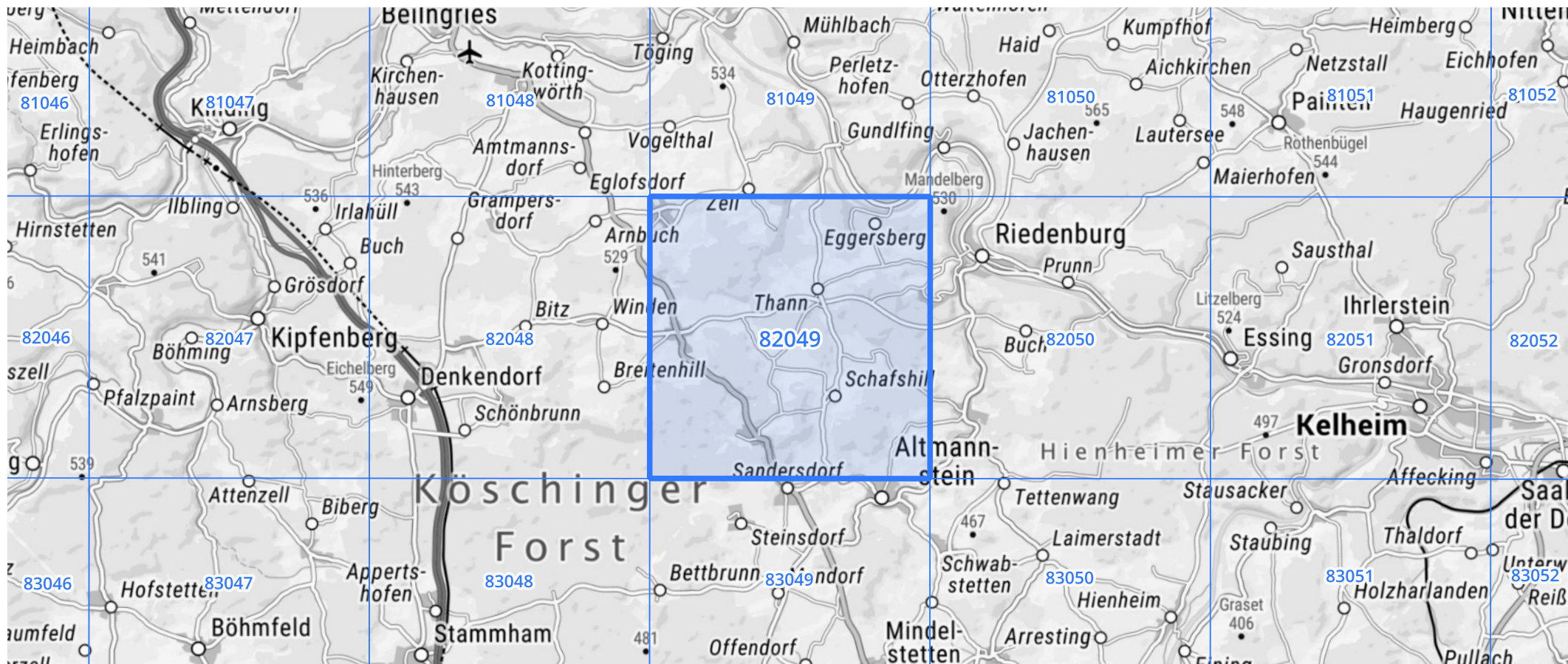
Auswertungszeitraum von 1951 - 2010, Januar - Dezember

Rasterfeld: 82049

Zeile: 82

Spalte: 49

Seite: 2/2



Quelle Rasterdaten: KOSTRA-DWD-2010R des Deutschen Wetterdienstes.

Kartendarstellung: © Bundesamt für Kartographie und Geodäsie (2022), Datenquellen: https://sgx.geodatenzentrum.de/web_public/gdz/datenquellen/Datenquellen_TopPlusOpen.html

Für die Richtigkeit und Aktualität der Angaben wird keine Gewähr übernommen. Erstellt 07/2022.